

FÍSICA COMPUTACIONAL

MODELO DE ISING CUÁNTICO UNIDIMENSIONAL EN UNA GRILLA DE N ESPINES: ANÁLISIS ESPECTRAL

JOHNNY BUZO
NATALIA CALDERÓN
JOSEPH CASTILLO
GERALD SCHMITZ
DILAN VEGA

```
erm_z_compone  
oneckerProduct  
eMatrix<double>(Matr  
) , sz),  
roduct(sz,  
atrixXd::Identity(n
```


CONTENIDOS

CONTEXTO

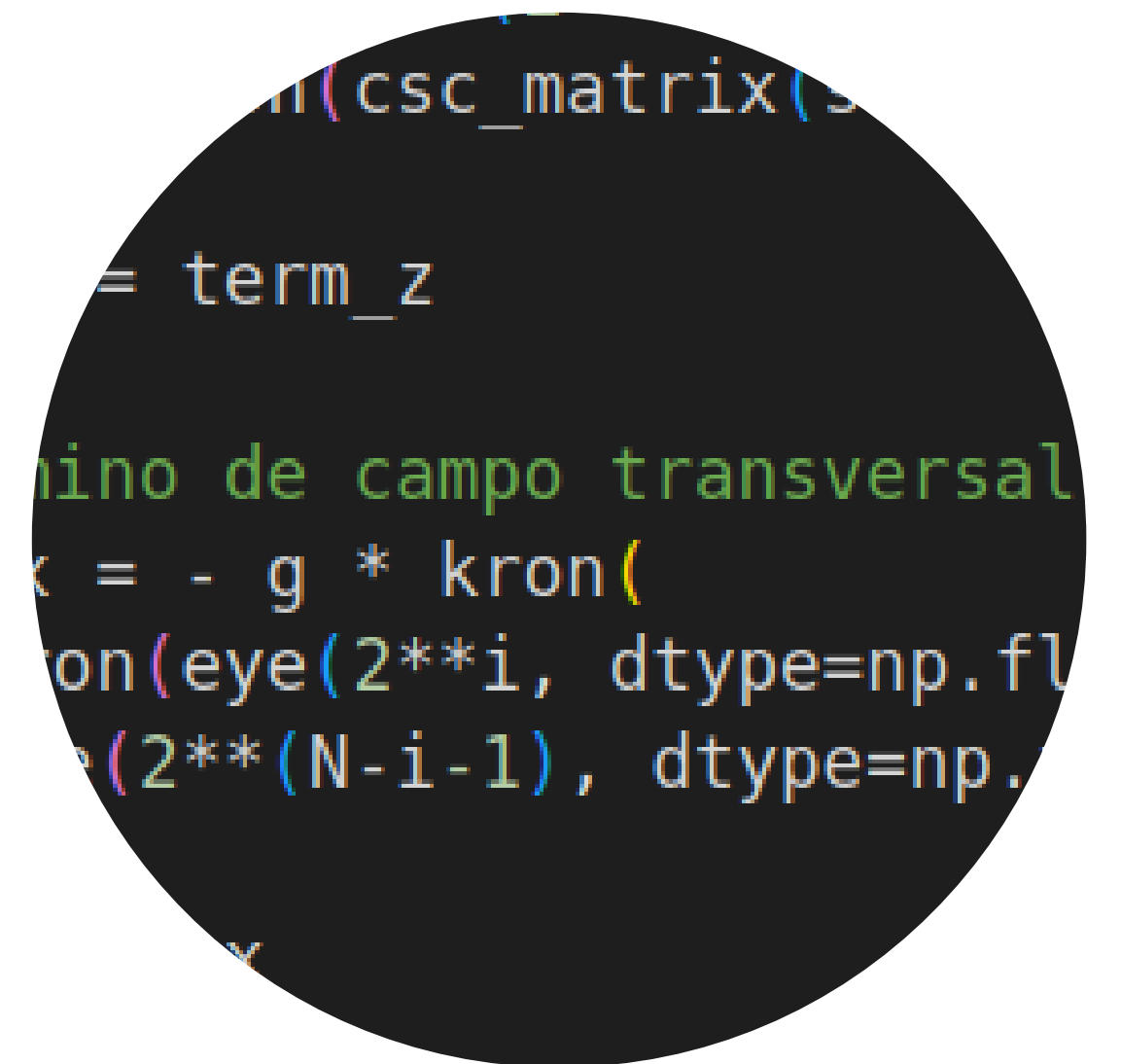
CÓDIGO

DIFICULTADES

CONCLUSIÓN



CONTEXTO



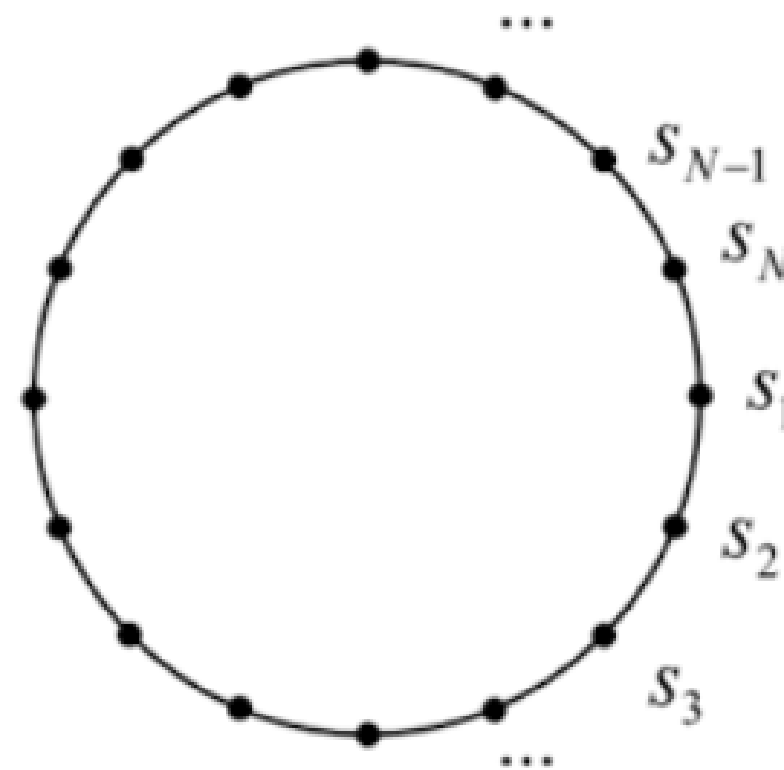
MODELO DE ISING CUÁNTICO UNIDIMENSIONAL

PARÁMETROS

J : Escala energética que determina interacción ferromagnética

g : Parámetro energético de campo transversal

Se trabaja con matrices de Pauli



HAMILTONIANO

Describe la energía total de un sistema físico en términos por ejemplo de sus momentos y coordenadas.

$$\hat{H} = -J \sum_{i=1}^N \hat{\sigma}_i^z \hat{\sigma}_{i+1}^z - g \sum_{i=1}^N \hat{\sigma}_i^x$$

$$\hat{H} = -J \sum_{i=1}^N \hat{\sigma}_i^z \hat{\sigma}_{i+1}^z - g \sum_{i=1}^N \hat{\sigma}_i^x$$

$$\hat{\sigma}_1^z = \hat{\sigma}^z \otimes \mathbb{1}$$

$$\hat{\sigma}_2^z = \mathbb{1} \otimes \hat{\sigma}^z$$

$$\hat{\sigma}_1^x = \hat{\sigma}^x \otimes \mathbb{1}$$

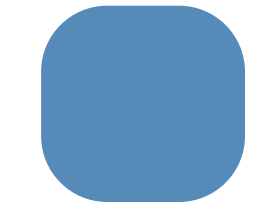
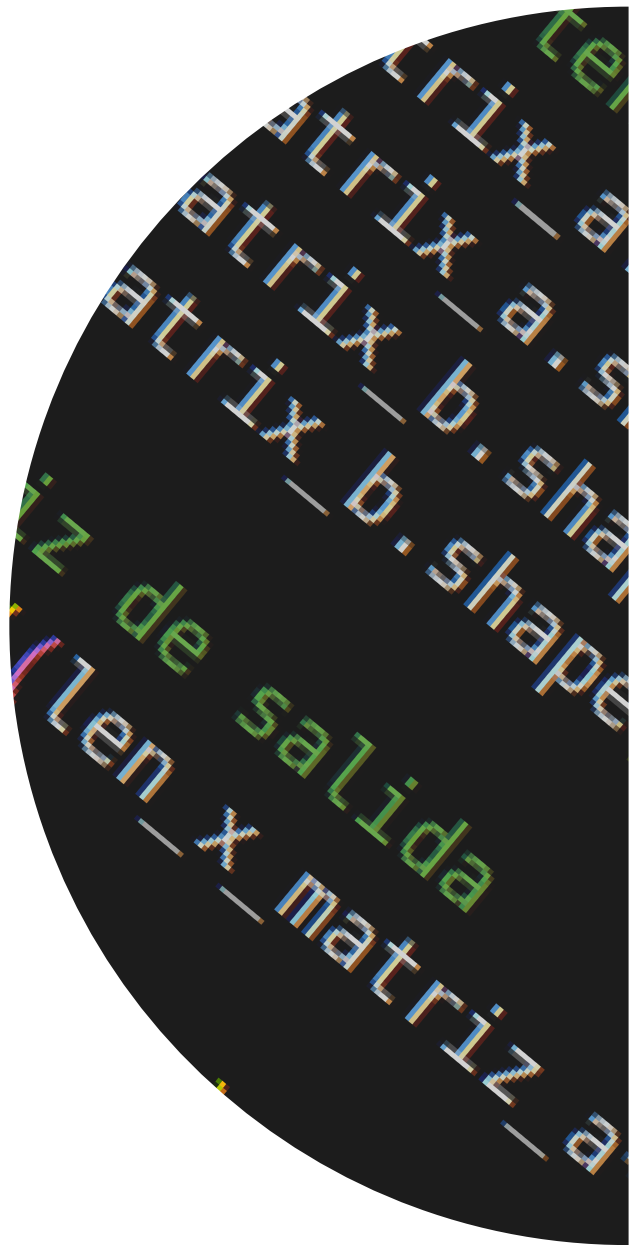
$$\hat{\sigma}_2^x = \mathbb{1} \otimes \hat{\sigma}^x$$

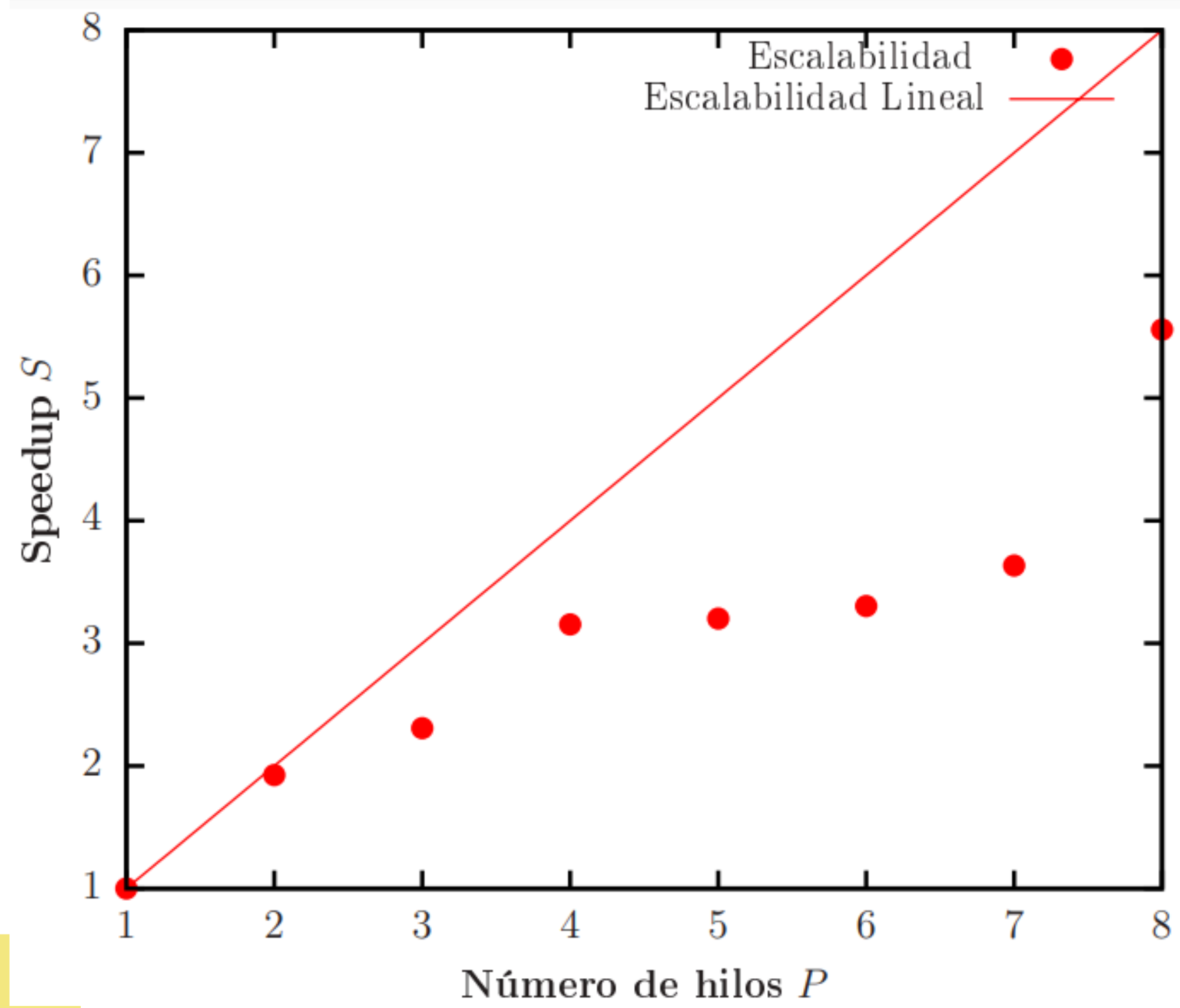
$$\begin{aligned} \begin{bmatrix} a_{11} & a_{12} \\ a_{21} & a_{22} \end{bmatrix} \otimes \begin{bmatrix} b_{11} & b_{12} \\ b_{21} & b_{22} \end{bmatrix} &= \begin{bmatrix} a_{11} \begin{bmatrix} b_{11} & b_{12} \\ b_{21} & b_{22} \end{bmatrix} & a_{12} \begin{bmatrix} b_{11} & b_{12} \\ b_{21} & b_{22} \end{bmatrix} \\ a_{21} \begin{bmatrix} b_{11} & b_{12} \\ b_{21} & b_{22} \end{bmatrix} & a_{22} \begin{bmatrix} b_{11} & b_{12} \\ b_{21} & b_{22} \end{bmatrix} \end{bmatrix} \\ &= \begin{bmatrix} a_{11}b_{11} & a_{11}b_{12} & a_{12}b_{11} & a_{12}b_{12} \\ a_{11}b_{21} & a_{11}b_{22} & a_{12}b_{21} & a_{12}b_{22} \\ a_{21}b_{11} & a_{21}b_{12} & a_{22}b_{11} & a_{22}b_{12} \\ a_{21}b_{21} & a_{21}b_{22} & a_{22}b_{21} & a_{22}b_{22} \end{bmatrix} \end{aligned}$$

PRODUCTOS
TENSORIALES

CÓDIGO

- Implementación del hamiltoniano con productos tensoriales.
- Implementación del hamiltoniano sin productos tensoriales.
- Escalar el sistema a N espines.
- Paralelización.
- Diagonalización.





TRANSFORMACIÓN DE JORDAN-WIGNER

$$E_0 = -\frac{1}{2} \sum_{n=-L/2}^{L/2-1} \epsilon(k_n)$$

$$E_0^R = -\frac{1}{2} \sum_{n=-L/2}^{L/2-1} \epsilon(p_n)$$

$$\epsilon(q) = 2J\sqrt{1+h^2-2h\cos(q)}, \quad k_n = \frac{2\pi(n+1/2)}{L}, \quad p_n = \frac{2\pi n}{L}, \quad n = -\frac{L}{2}, \dots, \frac{L}{2}-1$$



DIFICULTADES

```
x_matriz_a):  
(len_x_matriz  
range(len_y_ma  
in range(len_  
ultado[i+l+]
```

PYTHON

- Sintaxis sencilla
- Lenguaje interpretado: Menor rendimiento.
- La paralelización es menos flexible

C++

- Lenguaje compilado: Mayor rendimiento
- Mayor intervención en números complejos
- Sintaxis más compleja
- Control sobre la gestión de memoria

UTILIDAD

- ESTUDIO DE PROPIEDADES TERMODINÁMICAS
- SIMULACIONES NUMÉRICAS
- EJEMPLO PRÁCTICO (FIG 1)

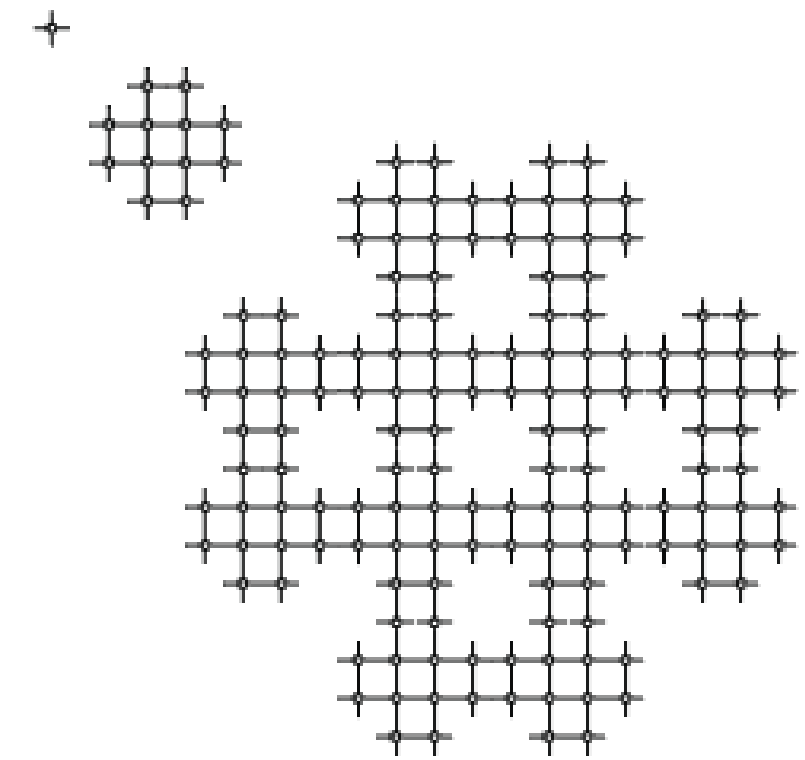


FIG. 1. Composition of the fractal lattice. Upper left: a local vertex around an Ising spin shown by the empty dot. Middle: the basic cluster which contains $N_1 = 12$ vertices. Lower right: the extended cluster which contains $N_2 = 12^2$ vertices. In each step of the system extension, the linear size of the system increases by the factor of 4, where only 12 units are linked, and where 4 units at the corners are missing, if it is compared with a 4 by 4 square cluster.



¡MUCHAS
GRACIAS!



REFERENCIAS

- Jozef Genzor, Andrej Gendiar, and Tomotoshi Nishino, "Phase Transition of the Ising Model on Fractal Lattice," arXiv:1509.05596v2 [cond-mat.stat-mech], 26 Dec 2015.
- "Ising model on clustered networks: A model for opinion dynamics," Physica A 623 (2023) 128811.